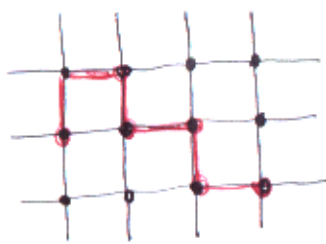


WSTĘP

Teoria perkolacji wyrosła z pytania „jeśli kamień zamknijmy w wodzie, czy woda przeniknie do jego środka?”. (Z tal. percolare - filtrować). Zajmuje się więc ona zachowaniem spójnych klastrów w losowych grafach.

Podstawowym modelem jest krata \mathbb{Z}^2 i perkolacja krawędziowa (bond percolation). Na \mathbb{Z}^2 patrzymy jak na grafie o wierzchołkach będących punktami kraty i krawędziach Tzw. wierzchołki sąsiadujące się o wersor bliższy z osią. Krawędź może



być otwarta lub zamknięta, kiedy niezależnie z prawdopodobieństwem $p, 1-p$, odpowiadając. Kilka poj.

- ścieżka, to ciąg (wierzchołek, krawędź, ...) gdzie wierzchołki sąsiadują, krawędzie tej ścieżki
- dwa wierzchołki a, b są połączone jeśli istnieje ścieżka od a do b
- otwarta skojarzona spójność = otwarty klaster = maksymalny ze względu na inkluzje, zbiór połączonych wierzchołków
- $C :=$ otwarty klaster zawierający 0
- Funkcja perkolacji $\Theta^{(d)}(p) = \mathbb{P}_p(\exists C \text{ such that } |C| = \infty)$
zdarenie zakochania perkolacji

STW $\Theta^{(d)}(p)$ - niemalejąca względem d ($\{\exists C_d \mid |C_d| = \infty\} \subset \{\exists C_{d+1} \mid |C_{d+1}| = \infty\}$)

STW $\Theta^{(d)}(p)$ - niemalejąca względem p (argument $\mathbb{Z}^d \hookrightarrow \mathbb{Z}^{d+1}$ uogólnia mierzącego $(\bigoplus_{n=1}^{\infty} \mathbb{U}[0,1])$).

- prawdopodobieństwo krytyczne $P_c(d) := \inf \{p \mid \Theta^{(d)}(p) > 0\}$ - pierwszy moment w którym zaczęły perkolację

STW. $\frac{1}{2d-1} \leq P_c(d) \leq \frac{2}{3}$, $d \geq 2$ (tm. funkcja perkolacji jest nietrywialna, P_c ma sens)
lubą ścieżkę

D-D. Np. z dotu

$$\Theta(p) \leq \mathbb{P}_p(\text{liniowa ścieżka } z \text{ do } n \text{ dla } n \geq 1) \leq \sum_{j=1}^n \mathbb{P}_p(\text{j-ta ścieżka dla } n)$$

$\uparrow n$

$\bigwedge_{j=1}^{2d(2d-1)^{n-1}}$

pierwszy wybór potem nie dany nie mamy

$$\leq 2d(2d-1)^{n-1} p^n$$

$$= \frac{2d}{2d-1} (p(2d-1))^n$$

i gdy $p < \frac{1}{2d-1}$ to prawa strona $\rightarrow 0$, więc $\Theta(p) = 0$ dla $p < \frac{1}{2d-1}$,
więc $P_c > \frac{1}{2d-1}$.

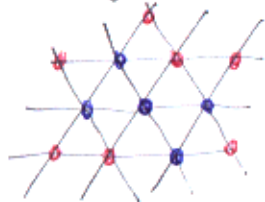
Główny rezultat to

TW (Kasten, 1980)

$$P_c(2) = \frac{1}{2}.$$

KONFOREMNE NIEZMIENNIKI

Przedimy do perkolacji wierzchołkowej (site percolation) na kraju trójkątnej.



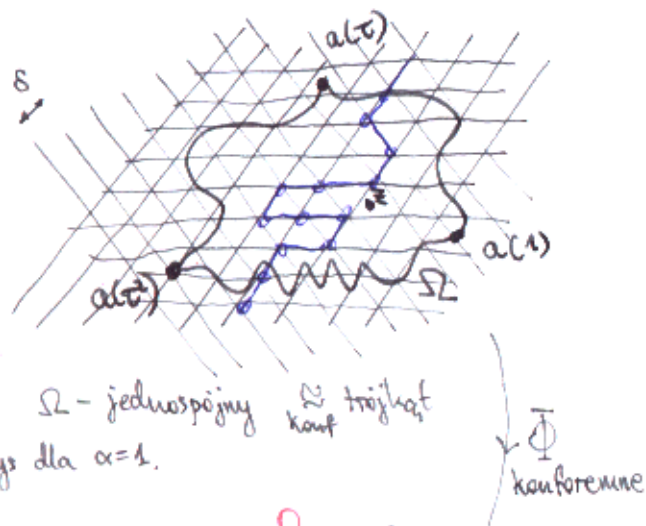
Każdy wierzchołek jest pomalowany na niebiesko lub czerwono z prawdopodobieństwem p , kde $1-p$ odpowiadając.

TW. Prawdopodobieństwo krytyczne w perkolacji wierzchołkowej na kraju trójkątnej wynosi $P_c = \frac{1}{2}$.

Dalej przyjmujemy $p = p_c = \frac{1}{2}$.

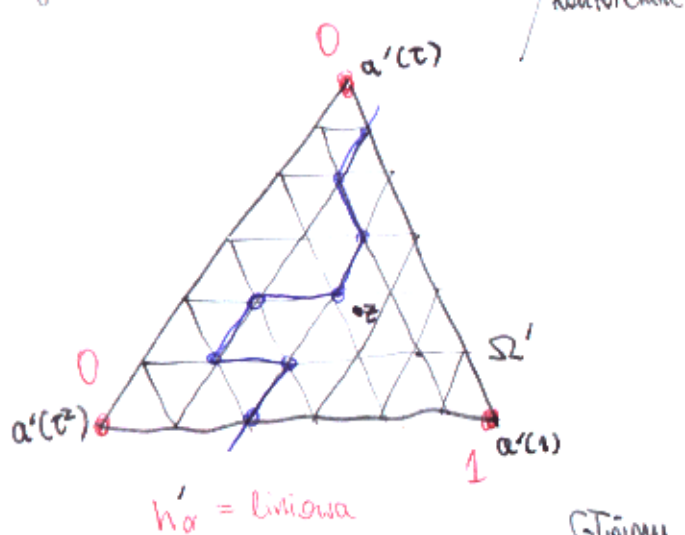
$$\text{Ozn. } \tau = e^{2\pi i/3}.$$

Niech $\Omega \subset \mathbb{C}$ to domiar jednospojony konforemnie rozwartego trójkąta z dostępnymi (ponumerowanymi precysem do ruchu wskazówek zegara) wierzchołkami $a(1), a(\tau), a(\tau^2)$



* Ω - jednospojony konf trójkąt

Rys dla $\alpha=1$.



h_α' = liniowa

Idea: pokazać, że H_α^S Dirichlet-Neumann

Główny wynik.
Po co? Nie wiem,
które mogłyby opisać

zbiega do fiji
spetnia granica

wielka na Ω , wydłużając ją do warunku
i porównać z h_α (jednorodność
rozciągania)

TW. $H_\alpha^S \xrightarrow[S \rightarrow 0]{\text{jednostajnie}} h_\alpha$

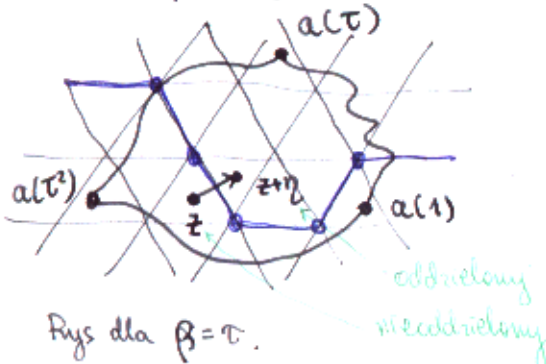
W szczególności

$h_\alpha(z) = \text{konforemny niezmiennik}$
($a(1), a(\tau), a(\tau^2), z, \Omega$)

DOWÓD TWIERDZENIA

Niech z to środek trójkąta sieli, η - wektor tworzący go ze środkiem trójkąta sąsiadującego. Oznaczamy

$$P_\beta(z, \eta) = \mathbb{P}(Q_\beta(z+\eta) \cap Q_\beta(z))$$



$$\text{LM 1. } P_\beta(z, \eta) = P_{\tau\beta}(z, \tau\eta)$$

$(\frac{2\pi}{3} -$ Cauchy-Riemann equations)

⚠ Skąd nowa?

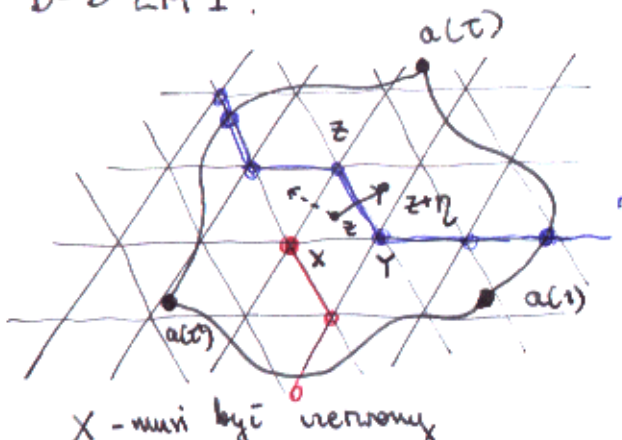
$$\begin{aligned} \frac{\partial}{\partial \eta} H_\beta(z) &:= H_\beta(z+\eta) - H_\beta(z) = \mathbb{P}(Q_\beta(z+\eta)) - \mathbb{P}(Q_\beta(z)) \\ &= \mathbb{P}(Q_\beta(z+\eta)) - \mathbb{P}(Q_\beta(z+\eta) \cap Q_\beta(z)) + (\mathbb{P}(Q_\beta(z)) - \mathbb{P}(Q_\beta(z+\eta) \cap Q_\beta(z))) \\ &= \mathbb{P}(Q_\beta(z+\eta) - Q_\beta(z)) - \mathbb{P}(Q_\beta(z) - Q_\beta(z+\eta)) \\ &= P_\beta(z, \eta) - P_\beta(z+\eta, -\eta) \\ &= P_{\tau\beta}(z, \tau\eta) - P_{\tau\beta}(z+\eta, -\tau\eta) = P_{\tau\beta}(z, \tau\eta) - P_{\tau\beta}(z+\tau\eta, -\tau\eta) \\ &\quad \text{ss } O(\delta^{1+\epsilon}) \\ &= P_{\tau\beta}(z+\tau\eta) + O(\delta^{1+\epsilon}) \\ &= \frac{\partial}{\partial(\tau\eta)} H_{\tau\beta}(z) + O(\delta^{1+\epsilon}) \end{aligned}$$

czyli:

$$\frac{\partial}{\partial \eta} H_\beta(z) = \frac{\partial}{\partial(\tau\eta)} H_{\tau\beta}(z) + O(\delta^{1+\epsilon}), \quad \beta-\text{dow.}$$

w granicy mamy \Rightarrow la równania C-R. dla trójkąt ($H_1, H\tau, H\tau^2$).

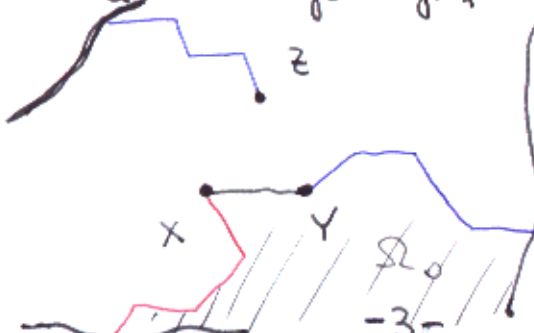
D-D LM 1.



$$Q := Q_\beta(z+\eta) - Q_\beta(z)$$

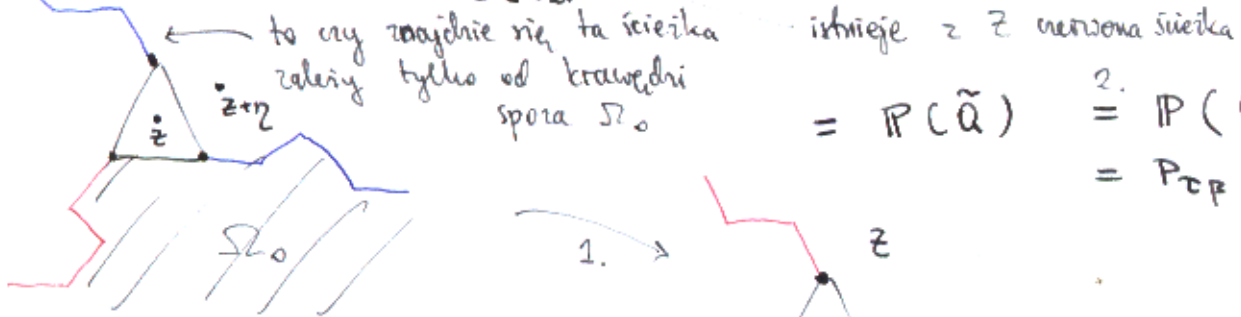
1. Istnieje ścieżki od Y, Z do boków - niebieńcie
2. Istnieje tzw. tzw. ścieżka z X do boku $a(\alpha t^2) a(\alpha)$ (inaczej $Q_\beta(z)$ by zakłodziło)

3. Zatem $Q =$ istnieje trójkąt $X Y Z$ i ścieżki



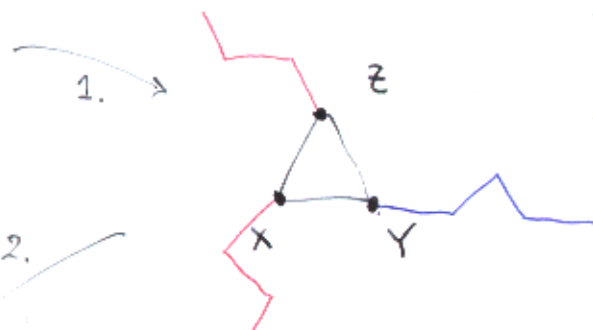
$$P(Q) = \sum_{\substack{z \in \text{nillo} \\ z \in \Omega_0 \text{ co}}} P(Q \mid \text{ustalony ułamek ścieżki w } \Omega_0) P(z \in \Omega_0 \text{ co})$$

$$= \sum_{\substack{z \in \text{nillo} \\ z \in \Omega}} P(\tilde{Q} \mid z \in \Omega_0 \text{ co}) P(z \in \Omega_0 \text{ co})$$



$$= P(\tilde{Q})$$

$$\begin{aligned} &= P((\tilde{Q}) \text{ odcinków}) \\ &= P_{\text{TP}}(z, \tau_2) \end{aligned}$$



□

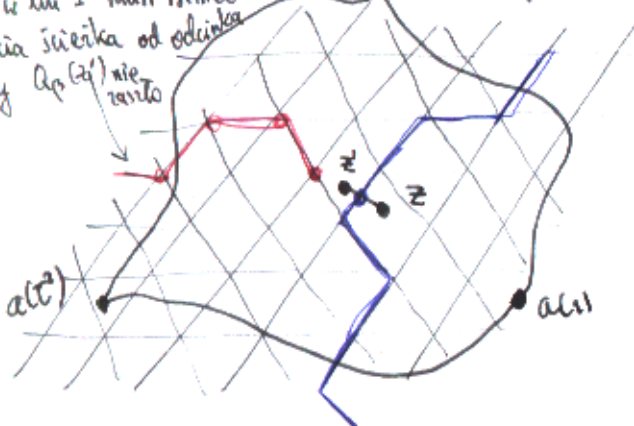
- LM2.
- $\exists \varepsilon, C$ zależne tylko od Ω , i.e. $H_\beta - \varepsilon, C$ -Hölderowska
 - $H_\beta \mid_{\alpha(\tau\beta)\alpha(\tau^2\beta)} = 0$, $H_\beta(\alpha(\beta)) \rightarrow 1$.

D-D. 1. Do ud. $|H_\beta(z') - H_\beta(z)| \leq C|z' - z|^\varepsilon$

$$\| P(Q_\beta(z') \times Q_\beta(z)) - P(Q_\beta(z) \times Q_\beta(z')) \|$$

$\alpha(\tau)$ ilby $\neq 0$ dodatkowe jedno ze zdarzeń $Q_\beta(z), Q_\beta(z')$ musi zajść

jak w lin 1 musi istnieć
fotnia ścieżka od odcinka
ilby $Q_\beta(z')$ nie zanta



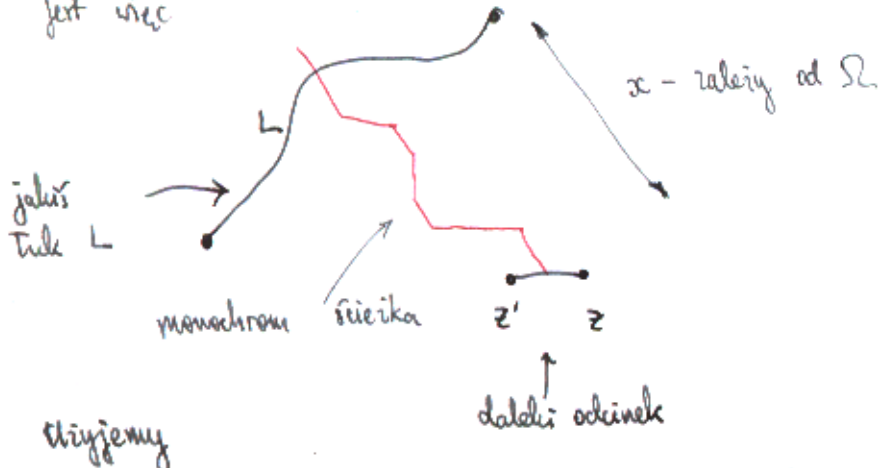
wyst dla z', z dalej
od fotnia ścieżki Taka
wystarczy dla
 $|H(z') - H(z)|$
 $\leq |H(z') - H(z_0)|$
 $+ |H(z) - H(z_0)|$
 $\leq C(|z' - z_0|^\varepsilon + |z - z_0|^\varepsilon)$
 $\leq C \cdot 2^{1-\varepsilon} |z' - z|^\varepsilon$

istniejąca monodromia Ω

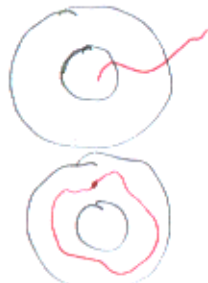
wyst dla
 z', z bliskich
na raz
ustalonego Taka
bus $|z - z'| \leq 1$



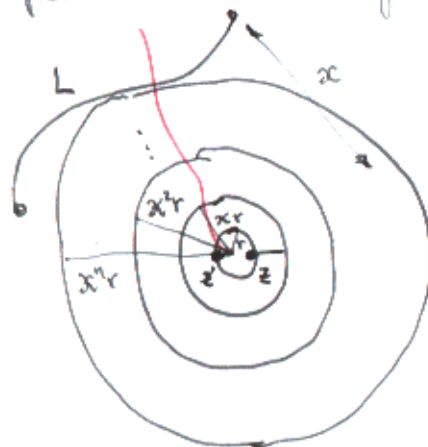
Jest więc



T_w (Russo) Dany jest pierścień $\frac{R}{r} = k$. Wtedy $\exists 0 < p < q < 1$
-zależne tylko od k
(nie od R, r, δ, \dots)



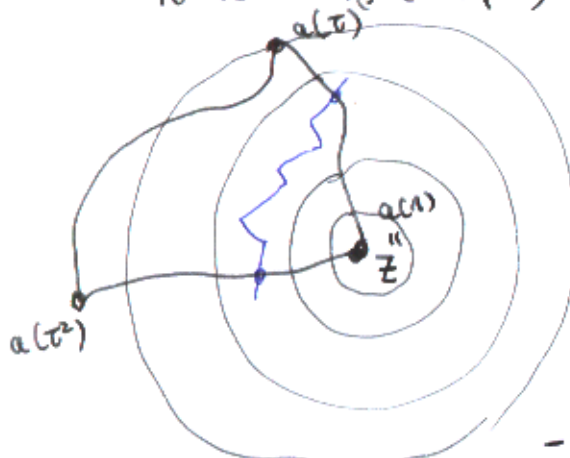
Odcinek $[z, z']$ mała od Taku L oddzieli w najmniej $| \log |z' - z| | + c$
pierścieniami rotaacyjnymi. Zatem



$$n \leq \frac{\log x - \log r}{\log x} \approx c + |\log |z' - z||$$

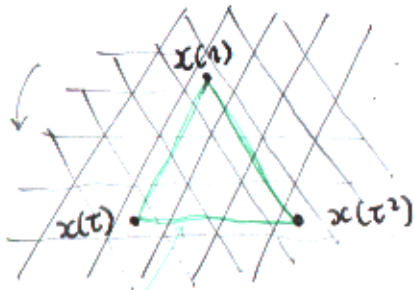
(b) To iż $H_\beta |_{a(\tau_\beta) \cap a(\tau'^\beta)} = 0$ jest \square

To iż $H_\beta(a(\tau_\beta)) \rightarrow 1$ wynika z tw. Russo.



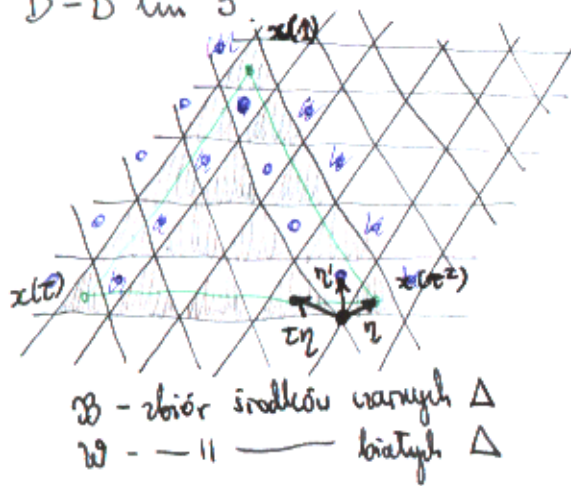
$$\begin{aligned} P(Q_\beta(a(\tau))) &\geq P(\exists \text{ pierścieniu } \text{zawiera } \text{ścieżkę}) \\ &= 1 - \prod P(\text{pierścieniu nie zawiera ścieżki}) \\ &\geq 1 - \prod (1-p) \geq 1 - (1-p)^{\lfloor \log_B |z'| + c \rfloor} \\ &\xrightarrow{\delta \rightarrow 0} 1. \quad \square \end{aligned}$$

Teraz zdefiniujemy całą dyskretną.



Kontur Γ - trójkąt równoboczny o wierzchołkach trójkątów trójkąty i położone \parallel do osi rea.

D-D lin 3.



\mathcal{B} - zbiór środków warstw Δ
 \mathcal{W} - - - - - bieżące Δ

$$\sum_{z \in \partial\mathcal{B} \setminus x(1)x(t^2)} (H_\beta(z+\eta) - H_\beta(z)) \stackrel{\text{lin 2}}{=} \sum_{z \in \mathcal{B} \setminus x(1)x(t^2)} (P_\beta(z, \eta) - P_\beta(z+\eta, -\eta)) + O(\delta^\varepsilon)$$

$$\stackrel{\text{lin 1}}{=} \sum (P_{\tau\beta}(z, \eta) - P_{\tau\beta}(z+\eta, -\eta))$$

$$= \sum (P_{\tau\beta}(z, \eta) - P_{\tau\beta}(z+\tau\eta, -\tau\eta)) + \boxed{\text{równica}} \sim O(\delta^{\varepsilon-1})$$

$$= \sum_{z \in \partial\mathcal{B} \setminus x(1)x(t^2)} (H_{\tau\beta}(z+\tau\eta) - H_{\tau\beta}(z)) + O(\ell s \delta^\varepsilon).$$

Podobnie

$$\sum_{z \in \mathcal{W}} (H_\beta(z+\eta') - H_\beta(z)) = \sum_{z \in \mathcal{W}} (H_{\tau\beta}(z+\tau\eta') - H_{\tau\beta}(z)) + O(\ell s \delta^{\varepsilon-1})$$

$$\int_{\Gamma}^{\delta} H(z) dz = \sum_{z \in x(t)x(t^2)} H(z) + \delta \sum_{x(t^2) x(t)} H(z) + \delta t^2 \sum_{x(1) x(t)} H(z).$$

LM3 $\Gamma \subset \Omega$ - różnicowany kontur dla L.Wd.

$$\int_{\Gamma}^{\delta} H_\beta(z) dz = \frac{1}{\tau} \int_{\Gamma}^{\delta} H_{\tau\beta}(z) dz + O(\ell \delta^\varepsilon).$$

$$\begin{aligned} \sum_{z \in \partial\mathcal{B} \setminus x(1)x(t^2)} (H_\beta(z+\eta) - H_\beta(z)) &= \sum_{z \in \partial\mathcal{B} \setminus x(1)x(t^2)} (P_\beta(z, \eta) - P_\beta(z+\eta, -\eta)) \\ &\stackrel{\text{lin 1}}{=} \sum_{z \in \partial\mathcal{B} \setminus x(1)x(t^2)} (P_{\tau\beta}(z, \tau\eta) - P_{\tau\beta}(z+\eta, -\tau\eta)) \\ &\stackrel{\#}{=} \sum_{z \in \partial\mathcal{B} \setminus x(1)x(t^2)} (P_{\tau\beta}(z, \tau\eta) - P_{\tau\beta}(z+\tau\eta, -\tau\eta)) \\ &\quad + O(\delta^\varepsilon) \text{ z Höldera} \end{aligned}$$

$$\sum_{z \in \partial\mathcal{B} \setminus x(1)x(t^2)} (H_\beta(z+\eta) - H_\beta(z)) \stackrel{\text{lin 2}}{=} \sum_{z \in \mathcal{B} \setminus x(1)x(t^2)} (P_\beta(z, \eta) - P_\beta(z+\eta, -\eta)) + O(\delta^\varepsilon)$$

$$\stackrel{\text{lin 1}}{=} \sum (P_{\tau\beta}(z, \eta) - P_{\tau\beta}(z+\eta, -\eta))$$

$$= \sum (P_{\tau\beta}(z, \eta) - P_{\tau\beta}(z+\tau\eta, -\tau\eta)) + \boxed{\text{równica}} \sim O(\delta^{\varepsilon-1})$$

$$= \sum_{z \in \partial\mathcal{B} \setminus x(1)x(t^2)} (H_{\tau\beta}(z+\tau\eta) - H_{\tau\beta}(z)) + O(\ell s \delta^\varepsilon).$$

Rachujemy ($\alpha \in \{\tau, \tau^2\}$)

$$\sum_{z \in x(\alpha) \cup x(\tau^2 \alpha)} H_\beta(z) - \sum_{z \in x(\tau \alpha) \cup x(\tau^2 \alpha)} H_\beta(z)$$

$$\text{telescoping} = \sum_{z \in \mathcal{B} \setminus x(\alpha) \cup x(\tau^2 \alpha)} (H_\beta(z + \eta) - H_\beta(z)) + \sum_{z \in W} (H_\beta(z + \eta') - H_\beta(z))$$

$$\sum_{w \in W} H_\beta(z)$$

$$\sum_{\mathcal{B} \setminus x(\tau \alpha) \cup x(\tau^2 \alpha)} H_\beta(z)$$



$$\begin{aligned} &= \sum_{z \in \mathcal{B} \setminus x(\alpha) \cup x(\tau^2 \alpha)} (H_\beta(z + \tau \eta) - H_{\tau \beta}(z)) + \sum_{z \in W} (H_{\tau \beta}(z + \tau \eta') - H_{\tau \beta}(z)) + O(\delta^\epsilon) \\ &= \sum_{x(\alpha) \cup x(\tau^2 \alpha)} H_{\tau \beta}(z) - \sum_{x(\tau \alpha) \cup x(\tau^2 \alpha)} H_{\tau \beta}(z) + O(\delta^{1-\epsilon}) \end{aligned}$$

$$\begin{aligned} \text{Przyp. def. } \oint_R H &= \delta \sum_{x(\tau) \cup x(\tau^2)} H + \delta \tau \sum_{\substack{x(\tau^2) \cup x(1) \\ -i\sqrt{3}/2}} H + \delta \tau^2 \sum_{\substack{x(1) \cup x(\tau) \\ -i\sqrt{3}/2}} H \\ -\frac{\delta}{2} \circlearrowleft |_{\alpha=\tau} -\frac{i\sqrt{3}}{2} \delta \circlearrowleft |_{\alpha=\tau} + \frac{\delta}{2} \circlearrowright |_{\alpha=\tau^2} &\quad / + \\ \downarrow \text{asym} & \quad O(\delta^{1-\epsilon}) \\ \oint_R H_\beta &= \frac{1}{\tau} \oint_R H_{\tau \beta} + O(\delta^\epsilon). \quad \square \end{aligned}$$

Z lnu 2 $\{H^\delta\}$ są jednoznacznie ciągłe, są wsp. ogr. przez 1, więc można wybierając podciąg zbieżny (jednoznacznie). Wykazując zatem ułaskawicielskość

LM 4. Jeżeli na pierwszym podcięgu $H_\alpha^{\delta, \tilde{\delta}} \Rightarrow f_\alpha$, to $f_\alpha \equiv h_\alpha$. (konieczny)

D-D tw. z lnu 4. Gdyby $H^\delta \not\rightarrow h_\alpha$, to na pierwszym podcięgu jest $> \epsilon$. Z tego wybieramy podciąg z b. i lnu 4 konny sprzeczność.

D-D lnu 4. Z lnu 3

$$\begin{aligned} \oint_R f_\beta &= \oint_R \frac{1}{\tau} f_{\tau \beta} \Rightarrow \oint_R f_\alpha = \oint_R \frac{1}{\tau} f_{\tau \alpha} \\ \oint_R f_\alpha &= \oint_R \left(\tau^2 \left(\tau^2 + \frac{i}{\sqrt{3}} \right) f_{\tau^2 \alpha} - \frac{i}{\sqrt{3}} f_{\tau \alpha} \right) \\ \tau + \frac{-1-i\sqrt{3}}{2} \frac{i}{\sqrt{3}} &= -\frac{1}{2} + \frac{i\sqrt{3}}{2} - \frac{i}{2\sqrt{3}} + \frac{i}{2} = \frac{i}{\sqrt{3}} \end{aligned}$$

więc

$$\oint_{\gamma} \left(f_\alpha + \frac{i}{\sqrt{3}} (f_{\tau\alpha} - f_{\tau^2\alpha}) \right) = 0.$$

↓ Morera

$$f_\alpha + \frac{i}{\sqrt{3}} (f_{\tau\alpha} - f_{\tau^2\alpha}) \text{ - analityczna} \Rightarrow$$

$$f_\alpha, \frac{1}{\sqrt{3}} (f_{\tau\alpha} - f_{\tau^2\alpha}) \text{ - analityczne w \Omega}$$

\Leftrightarrow
sprawdzenie

f_α na $\partial\Omega$ spełnia to samo co h_α

mixed Dirichlet-Neumann boundary conditions.

□